

### XIII. PREDAVANJE

**Pojam višeharmonijske mreže. Vrste višeharmonijskih mreža. Linearne višeharmonijske mreže. Metoda fazorske transformacije. Nadomjesne sheme spoja za  $n$ -ti harmonijski član. Analiza u vremenskom području. Uvjeti periodičnosti. Uvjeti neprekinutosti varijabli. Mreže linearne po odsječcima. Postupak rješavanja. Određivanje tipa periodičkog rješenja. Primjer sklopa sa dvije idealne diode. Sklopovi s periodički upravljanim sklopkama kao primjer sklopova s unaprijed zadanim tipom periodičkog rješenja. Realizacija otpora s pomoću sklopkama preklapanog kapaciteta.**

### IV. NESINUSOIDALNO USTALJENO STANJE

Analiza sinusoidalnog ustaljenog stanja pretpostavlja stabilnu mrežu sastavljenu od linearnih vremenski nepromjenljivih elemenata u kojoj djeluje jednoharmonijski poticaj. Elektroenergetske mreže su karakterističan primjer stvarnih mreža kod kojih se niz zadaća analize može podvesti pod analizu sinusoidalnog ustaljenog stanja. U praktički svim ostalim primjenama, posebno u elektronici, stvarne mreže su *višeharmonijske* i ako su *stabilne*, bitna je analiza njihovog nesinusoidalnog ustaljenog stanja.

Mreža je višeharmonijska ako u njoj u ustaljenom stanju, u valnom obliku neke varijable  $f(t)$  postoje *barem dva* harmonijska člana, recimo

$$f(t) = \hat{A}_1 \sin(\omega_1 t + \varphi_1) + \hat{A}_2 \sin(\omega_2 t + \varphi_2) ; \omega_1 \neq \omega_2$$

pri čemu jedna od frekvencija  $\omega_1$  ili  $\omega_2$  može biti jednaka nuli. U protivnom, mreža je *jednoharmonijska*.

U skladu s rečenim u jednoharmonijske mreže se ubrajaju :

- istosmjerne mreže s linearnim i/ili nelinearnim vremenski nepromjenljivim elementima, i
- izmjenične linearne vremenski nepromjenljive mreže u kojima djeluje jednoharmonijski poticaj.

Ove su mreže u općem slučaju *rješive*.

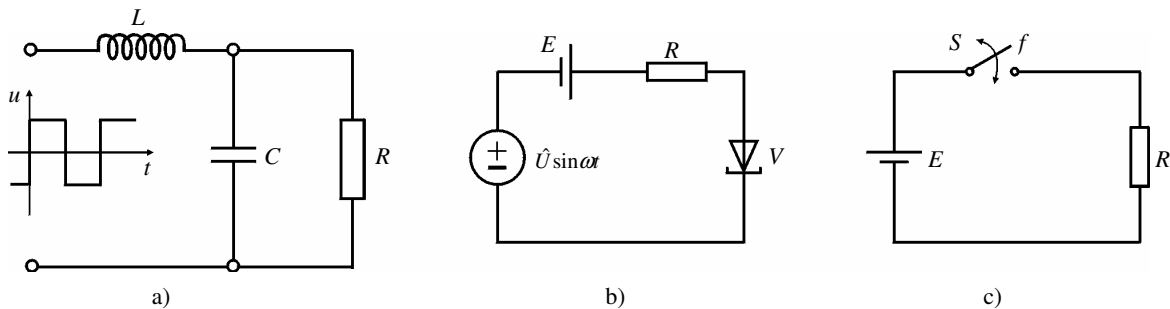
Višeharmonijske mreže dijele se na *linearne* i *nelinearne* višeharmonijske mreže.

Linearne višeharmonijske mreže su sve mreže sa linearnim vremenski nepromjenljivim elementima u kojima djeluju *periodični nesinusni poticaji*. Ove su mreže **u općem slučaju rješive**.

Nelinearne višeharmonijske mreže dijele se na dvije osnovne vrste:

- neistosmjerne mreže* s nelinearnim vremenski nepromjenljivim elementima, i
- mreže s vremenski promjenljivim elementima*.

Ove su mreže **u općem slučaju nerješive**.



Sl. 13.1 Primjeri višeharmonijskih mreža

- Linearna višeharmonijska mreža ( $R, L, C$  su linearni vremenski nepromjenljivi elementi).
- Neistosmjerna nelinearna mreža ( $V$  - tunnel dioda).
- Mreža s vremenski promjenljivim elementom ( $S$  - periodički upravljana sklopka).

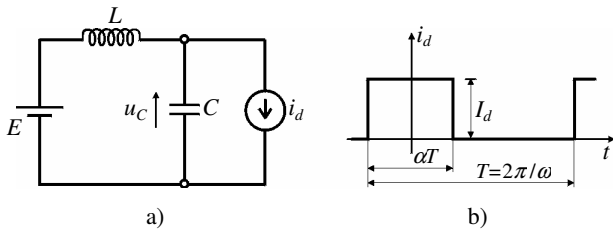
## 13. TOČNE METODE ANALIZE VIŠEHARMONIJSKIH MREŽA

### 13.1 LINEARNE VIŠEHARMONIJSKE MREŽE

#### 13.1.1 Metoda fazorske transformacije

Da bi se u analizi linearnih višeharmonijskih mreža mogla primijeniti metoda fazorske transformacije mora biti

poznat *rastav* napona odnosno struja svih nezavisnih izvora (uvora) mreže u Fourierov red. Tada se izračuna odziv za svaki harmonijski član posebno, a ukupni se odziv dobije zbrajanjem svih parcijalnih odziva. Pokažimo to na primjeru mreže sheme spoja prema slici 13.2., gdje treba odrediti napon na kapacitetu  $u_C$  u ustaljenom stanju.



Sl.13.2 a) Zadana shema spoja.  
b) Valni oblik struje strujnog uvora  $i_d$ .

Valni oblik struje strujnog uvora  $i_d(t)$  je zadan i razvijen u Fourierov red glasi

$$i_d = \alpha I_d + \sum_{n=1}^{\infty} i_d(n, t) \quad (1)$$

gdje je

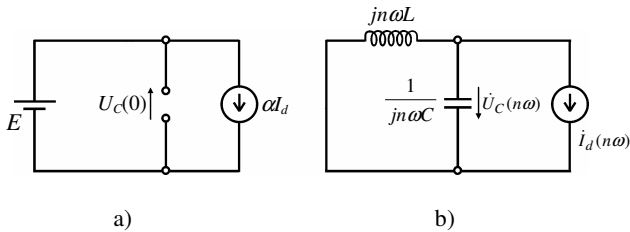
$$i_d(n, t) = \frac{2I_d}{\pi} \frac{\sin n\pi\alpha}{n} \cos n\omega t \leftrightarrow$$

$$\leftrightarrow \dot{I}_d(n\omega) = \frac{2I_d}{\pi} \frac{\sin n\pi\alpha}{n} \angle 0^\circ \quad (2)$$

Budući da je mreža linearna i vremenski nepromjenljiva, to je očigledno napon na kapacitetu

$$u_C = U_C(0) + \sum_{n=1}^{\infty} u_C(n, t) \quad (3)$$

pri čemu je u skladu sa slikom 13.3 odmah vidljivo da je  $U_C(0) = E$ .



Sl. 13.3 a) Nadomjesna shema spoja za istosmjerni član.  
b) Nadomjesna shema spoja za  $n$ -ti harmonijski član.

Proizlazi da je za  $n$ -ti harmonijski član

$$I_d(n\omega) = (jn\omega C + \frac{1}{jn\omega L}) \cdot \dot{U}_C(n\omega)$$

odnosno :

$$\dot{U}_C(n\omega) = \frac{jn\omega L}{1 - n^2\omega^2 LC} \dot{I}_d(n\omega) =$$

$$= j \frac{\eta \omega L}{1 - n^2\omega^2 LC} \frac{2I_d}{\pi} \frac{\sin n\pi\alpha}{\eta}$$

Vraćanjem u vremensko područje i uzimajući u obzir predznak od  $u_C(t)$ , pretpostavljen na slici 13.2.a, dobivamo da je

$$u_C(n, t) = \frac{2\omega L I_d}{\pi} \frac{\sin n\pi\alpha}{1 - n^2\omega^2 LC} \sin n\omega t$$

odnosno za valni oblik napona na kapacitetu

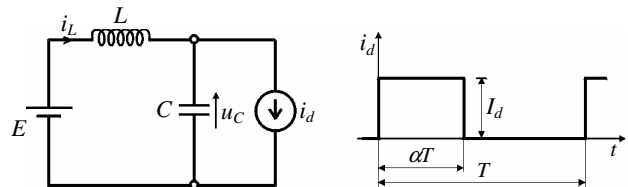
$$u_C = E + \frac{2\omega L I_d}{\pi} \sum_{n=1}^{\infty} \frac{\sin n\pi\alpha}{1 - n^2\omega^2 LC} \sin n\omega t \quad (4)$$

Napomene :

- Pri  $n^2\omega^2 LC \rightarrow 1 \Rightarrow u_C(t) \rightarrow \infty$ , tj. dobivamo uvjete *paralelne rezonancije*.
- Fazorska transformacija *nije spretna* metoda analize ako se, primjerice, traži vršna vrijednost napona na kapacitetu, što može biti važan projektantski podatak !

### 13.1.2 Analiza u vremenskom području

Pokažimo kako se isti zadatak, riješen u prethodnom odsječku fazorskom transformacijom, rješava u vremenskom području. Zbog jednostavnijeg opisa jednadžbi, valni oblik struje strujnog uvora  $i_d(t)$  pomaknut je u desno za  $\alpha T/2$ , kako to pokazuje slika 13.4.



Sl.13.4 Analizirana shema spoja.

Razlikuju se dva intervala rada:

- interval A  $0 \leq t \leq \alpha T$

$$E = L \frac{di_L}{dt} + u_C ; i_L = C \frac{du_C}{dt} + I_d$$

- interval B  $\alpha T \leq t \leq T$

$$E = L \frac{di_L}{dt} + u_C ; i_L = C \frac{du_C}{dt}$$

Budući da je

$$\frac{di_L}{dt} = \frac{di_C}{dt} = C \frac{d^2 u_C}{dt^2}$$

u oba intervala vrijedi *ista diferencijalna jednadžba* :

$$LC \frac{d^2 u_C}{dt^2} + u_C = E \quad (5)$$

što znači da je u intervalu A rješenje diferencijalne jednadžbe (5)

$$u_{C,A} = A_1 \sin \omega_0 t + A_2 \cos \omega_0 t + E \quad (6)$$

a u intervalu B

$$u_{C,B} = B_1 \sin \omega_0 (t - \alpha T) + B_2 \cos \omega_0 (t - \alpha T) + E \quad (7)$$

gdje je

$$\omega_0 = \frac{1}{\sqrt{LC}}$$

Struja kroz induktivitet je u intervalu A dana izrazom

$$\begin{aligned} i_{L,A} &= C \frac{du_{C,A}}{dt} + I_d = \\ &= \omega_0 C A_1 \cos \omega_0 t - \omega_0 C A_2 \sin \omega_0 t + I_d \end{aligned} \quad (8)$$

a u intervalu B izrazom

$$\begin{aligned} i_{L,B} &= C \frac{du_{C,B}}{dt} = \\ &= \omega_0 C B_1 \cos \omega_0(t - \alpha T) - \omega_0 C B_2 \sin \omega_0(t - \alpha T) \end{aligned} \quad (9)$$

Postavljena je zadaća riješena ako znamo odrediti konstante  $A_1$ ,  $A_2$ ,  $B_1$  i  $B_2$ . S obzirom na to da se traži ustaljeno stanje, to iz **uvjeta periodičnosti** proizlazi da mora biti :

$$u_{C,A}(0) = u_{C,B}(T) ; i_{L,A}(0) = i_{L,B}(T) \quad (10)$$

a iz **zakona komutacije** da mora vrijediti da je

$$u_{C,A}(\alpha T) = u_{C,B}(\alpha T) ; i_{L,A}(\alpha T) = i_{L,B}(\alpha T) \quad (11)$$

Na osnovi uvjeta periodičnosti (10) i zakona komutacije (11) te koristeći izraze za napone na kapacitetu i struje kroz induktivitet dobivamo četiri jednadžbe u četiri nepoznanice, odakle se dobiva da je

$$\begin{aligned} A_1 &= -\omega_0 L I_d \frac{\sin \frac{1-\alpha}{2} \omega_0 T \cdot \cos \frac{\alpha \omega_0 T}{2}}{\sin \frac{\omega_0 T}{2}} \\ A_2 &= -B_2 = \omega_0 L I_d \frac{\sin \frac{1-\alpha}{2} \omega_0 T \cdot \sin \frac{\alpha \omega_0 T}{2}}{\sin \frac{\omega_0 T}{2}} \\ B_1 &= \omega_0 L I_d \frac{\cos \frac{1-\alpha}{2} \omega_0 T \cdot \sin \frac{\alpha \omega_0 T}{2}}{\sin \frac{\omega_0 T}{2}} \end{aligned}$$

čime je postavljena zadaća u potpunosti riješena.

*Napomena:* Za razliku od analize metodom fazorske transformacije, u vremenskom području je posve jednostavno odrediti vršnu vrijednost napona na kapacitetu! Očigledno je, naime

$$\begin{aligned} u_{C,M} &= u_{C,A}(0) = u_{C,B}(T) = \\ &= E + \omega_0 L I_d \frac{\sin \frac{\alpha \omega_0 T}{2} \sin \frac{1-\alpha}{2} \omega_0 T}{\sin \frac{\omega_0 T}{2}} \end{aligned} \quad (12)$$

## 13.2 MREŽE LINEARNE PO ODSJEČCIMA

(N.D. Papaleksi, 1912.)

Nelinearne mreže, u kojima se karakteristike svih nelinearnih elemenata mogu, s prihvatljivom tehničkom točnošću, aproksimirati *odsječcima pravaca* nazivaju se **mreže linearne po odsječcima**. To znači da se pri određivanju ustaljenog stanja perioda rada  $T$  dijeli na intervale, a unutar svakog intervala mreža je opisana sustavom linearnih diferencijalnih jednadžbi s konstantnim koeficijentima.

Dakle, mreža je u ustaljenom stanju *periodički promjenljive strukture*, linearna u svakom dijelu periode u kojem je struktura nepromijenjena, ali *nelinearna promatrano u cjelini*.

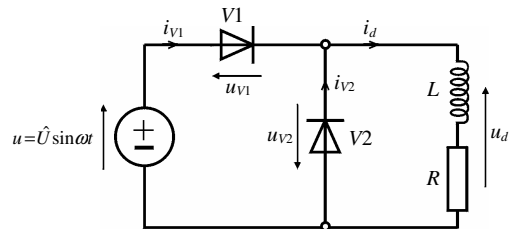
Osnovni problem analize ovih mreža nije rješenje sustava diferencijalnih jednadžbi po intervalima nego određivanje tzv. *tipa periodičkog rješenja*, tj. *kako i kada* se unutar periode rada prelazi s jednog linearnog sustava na drugi (s jednog odsječka pravca na drugi). Opća metoda za određivanje tipa periodičkog rješenja *ne postoji*.

Pokažimo na jednom jednostavnom primjeru kako se u nekim slučajevima može odrediti tip periodičkog rješenja.

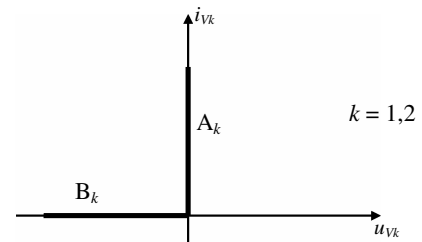
### 13.2.1 Određivanje tipa periodičkog rješenja

Zadana je shema spoja prema slici 13.5.a, a zbog pretpostavke o idealnosti dioda V1 i V2, slika 13.5.b, mreža je linearna po odsječcima.

Karakteristika svake diode  $V$  prema slici 13.5.b sastoji se od dva pravca; karakteristike vođenja  $A_k$  i karakteristike nevođenja  $B_k$ . To znači da su u općem slučaju moguća



Sl. 13.5 a) Zadana shema spoja.



Sl. 13.5 b) Karakteristike dioda V1 i V2  
( $A_k$  - karakteristika vođenja  $k$ -te diode,  
 $B_k$  - karakteristika nevođenja  $k$ -te diode).

četiri intervala rada

- A = ( $A_1$ ,  $A_2$ ), kad obje diode vode,
  - B = ( $B_1$ ,  $B_2$ ), kad obje diode ne vode,
  - C = ( $A_1$ ,  $B_2$ ), kad vodi dioda V1, a ne vodi dioda V2, i
  - D = ( $B_1$ ,  $A_2$ ), kad ne vodi dioda V1, a vodi dioda V2, i
- s time da se unutar periode rada  $T=2\pi/\omega$  intervali mogu i ponoviti.

Jednadžbe mreže su :

$$\begin{aligned} u &= u_{V1} - u_{V2} \\ 0 &= u_{V2} + u_d \\ i_d &= i_{V1} + i_{V2} \end{aligned} \quad (13)$$

dok su konstitutivne relacije elemenata mreže u granama dane izrazima

$$u_d = L \frac{di_d}{dt} + Ri_d \quad (14)$$

odnosno za diode ( $k=1,2$ ):

$$\begin{aligned} A_k &= \{u_{Vk} = 0 ; i_{Vk} > 0\} \\ B_k &= \{u_{Vk} < 0 ; i_{Vk} = 0\} \end{aligned} \quad (15)$$

Zaključujemo:

a) Interval A *ne postoji*. Zaista, kad bi taj interval postojao moralo bi zbog  $i_{V1} > 0$  i  $i_{V2} > 0$  biti i  $u_{V1} = u_{V2} = 0$ . No, tada je prema (13),  $u = 0$ , što *nije istina*.

b) Interval B *može postojati*. Budući da je  $i_{V1} = i_{V2} = 0$  to je prema (14) i  $u_d = 0$ . Ali, tada je u skladu sa (13)  $u = u_{V1}$ , te dioda V1 neće voditi samo ako je  $u < 0$ .

c) Interval C *može postojati*. Budući da je  $u_{V1} = 0$ ,  $u_{V2} < 0$ , to je prema (13)

$$u = -u_{V2}$$

odakle proizlazi da mora biti  $u > 0$ !

d) Interval D *može postojati*. Budući da je  $u_{V1} < 0$ ,  $u_{V2} = 0$ , to je prema (13)

$$u = u_{V1}$$

odakle proizlazi da mora biti  $u < 0$ !

Proizlazi da za vrijeme pozitivne poluperiode napona  $u = \hat{U} \sin \omega t$  može postojati samo *interval C*. Za vrijeme negativne poluperiode mogu postojati intervali B i D, što znači da u nastavku analize valja razmotriti četiri moguća slijeda intervala za vrijeme negativne poluperiode. To su: B, BD, DB i D.

Odmah opažamo da slučajevi B i BD nisu mogućii. U protivnom, bio bi prekršen zakon o očuvanju toka. Usvojimo li u praksi uobičajenu pretpostavku da je

$$\frac{L}{R} \gg T$$

nije moguć ni slijed intervala DB. Zaključujemo da za vrijeme negativne poluperiode postoji *interval D*. Time je određen tip periodičkog rješenja.

Zadana mreža sheme spoja prema slici 13.5.a opisana je u potpunosti diferencijalnom jednadžbom

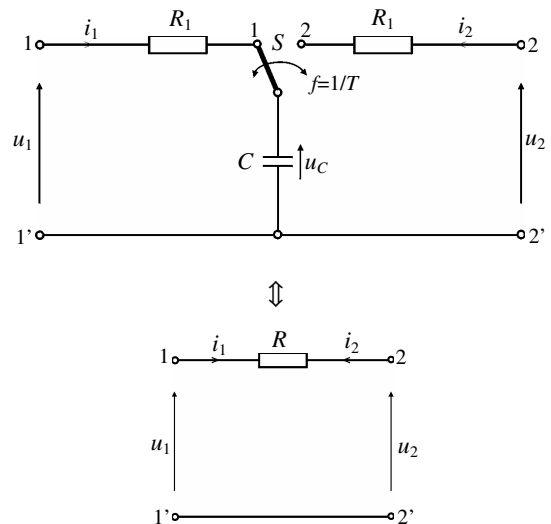
$$L \frac{di_d}{dt} + Ri_d = \begin{cases} \hat{U} \sin \omega t & +0 \leq \omega t \leq \pi - 0 \\ 0 & \pi + 0 \leq \omega t \leq 2\pi - 0 \end{cases} \quad (16)$$

koja se rješava na način pokazan u prethodnom odsječku 13.1.2.

### 13.2.2 Tip periodičkog rješenja je zadan

U mnogim za praksu važnim slučajevima tip periodičkog rješenja *zadan je unaprijed*. Karakterističan primjer su *sklopovi s periodički upravljanim sklopkama* kod kojih prijelaz iz jednog linearnog odsječka u drugi nije diktiran vanjskim krugom nego unaprijed zadanim zakonom upravljanja. Analiza ovih sklopova provodi se na način pokazan u odsječku 13.1.2.

Ilustrativan primjer ovakvih mreža su sklopkama preklapani kapaciteti s pomoću kojih se u tehnici integriranih krugova mogu realizirati otpornici, slika 13.6.



Sl.13.6 Realizacija otpornika  $R$  s pomoću sklopkama preklapanog kapaciteta.

Neka je sklopka  $S$  polovinu periode u položaju 1, a polovinu periode u položaju 2. Vrijedi :

$$R_1 C \frac{du_C}{dt} + u_C = \begin{cases} u_1 & 0 \leq t \leq T/2 \\ u_2 & T/2 \leq t \leq T \end{cases}$$

Pretpostavimo da je perioda sklapanja  $T$  dovoljno kratka da se naponi  $u_1$  i  $u_2$  unutar jedne periode  $T$  *ne promijene*, a također pretpostavimo da je  $R_1 C \ll T$ . Tada je

$$u_C \approx \begin{cases} u_1 & 0 \leq t \leq T/2 \\ u_2 & T/2 \leq t \leq T \end{cases}$$

Količina naboja prenesena kapacitetom od prilaza 1 na prilaz 2 u periodi  $T$  jednaka je

$$\frac{C(u_1 - u_2)}{T} = fC(u_1 - u_2) = i$$

što je ekvivalentno prolazu iste količine naboja kroz otpornik otpornosti

$$R = \frac{1}{fC} \quad (17)$$

U skladu s izloženim u odsječku 9.1.5 energija pretvorena u toplinu u otpornicima  $R_1$  bit će zbog jednog nabijanja i jednog izbijanja u periodi

$$W_R = 2 \cdot \frac{1}{2} (u_1 - u_2) \cdot C(u_1 - u_2) = C(u_1 - u_2)^2$$

odnosno snaga "otpornika" bit će jednaka

$$P_R = f \cdot W_R = fC(u_1 - u_2)^2$$

što odgovara disipaciji na otporniku otpornosti  $R=1/fC$  na koji je narinut napon  $u_1 - u_2$ .

*Napomena:* Periodički upravljana sklopka  $S$  realizira se u praksi s pomoću dva MOS-tranzistora u protutaktnom sklopnom režimu rada. Sa  $R_1$  označene su otpornosti MOS-tranzistora u stanju vođenja.